

# STROJNÌŠKI VESTNIK

LETNIK 22 (1)  $\psi = (\varphi)$ (2)  $\varphi = \psi$  LUBLJANA, JULIJ—AVGUST 1976

ŠTEVILKA 7—8

UDK 624.073.12

## Prispevek k reševanju drugega robnega problema pri steni z luknjo

FRANC KOSEL — MARKO ŠKERLJ

Članek obravnava reševanje napetosti in deformacij v okolini luknje poljubne oblike, s katero je oslabljena neskončna stena, pri predpostavki, da so na robu luknje vnaprej predpisane velikosti premikov (drugi robni problem). V obeh tu obdelanih primerih je vzeto, da so premiki na robu luknje proporcionalni koordinatam robnih točk. Za ilustracijo numeričnega računa sta narisana diagrama poteka napetosti v okolini eliptične in pravokotne luknje.

### 1. Uvod

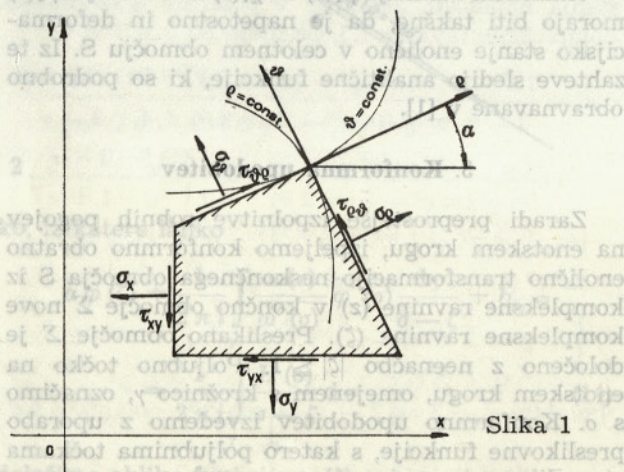
Doslej je znanih že mnogo rešitev napetostnih in deformacijskih stanj v dvakrat povezani steni. Večina rešenih primerov so rešitve prvega robnega problema, kjer so predpisane zunanje obremenitve na konturi luknje in v točkah, ki so od nje zelo oddaljene. Mnogo manj pa je doslej znanih rešitev za napetosti in deformacije v steni z luknjo, kjer so na konturi luknje predpisani premiki. Takšni primeri so v praksi tudi pogosti. Preprost primer takega stanja dobimo, če si zamislimo, da je v luknjo stene vtisnjeno togo telo.

Mnogokrat je v praksi takšno togo telo pravokotne ali okrogle oblike, zaradi česar obravnava članek eliptično luknjo, ki v posebnem primeru preide v krožnico in luknjo pravokotne oblike. Za rešitev tega problema uporabljamo Mushelevićevo metodo [1], ki obravnava elastostatično ravninsko napetostno stanje v steni z uporabo analitičnih funkcij kompleksne spremenljivke. To metodo lahko uporabimo, tako da osrednjo ravnino stene položimo v kompleksno ravnino  $(z)$  s koordinatnim začetkom v težišču luknje. Tako izbrana lega kompleksne ravnine  $(z)$  v steni omogoča uporabo konformne in obratno enolične preslikave poljubne sklenjene krivulje, ki pomeni presek konture luknje s kompleksno ravnino  $(z)$ , na enotski krog. Preostalo neskončno območje stene pa lahko preslikamo v notranjost ali zunanjost enotskega kroga, tako da osrednja ravnina stene leži zopet v novi kompleksni ravnini  $(\zeta)$ . V kompleksni ravnini  $(\zeta)$  rešimo drugi robni problem s Cauchyjevimi integrali, ki omogočajo, da izračunamo funkcionske vrednosti analitičnih funkcij v območju stene, kadar so zvezne na sklenjeni krivulji, ki steno omejuje.

### 2. Osnovne enačbe

V kompleksno ravnino  $(z)$ , ki jo tvorita koordinatni osi  $x$  in  $y$ , položimo osrednjo ravnino stene, tretja koordinatna os  $Z$  desnoročnega kartezijevega

koordinatnega sistema pa leži pravokotno na steno. V izbranem koordinatnem sistemu lahko kompleksne sestave komponent tenzorja ravninskega stanja napetosti (sl. 1) in vektorja pomika izrazimo z dve-



Slika 1

ma analitičnima funkcijama  $\varphi_1(z)$  in  $\psi_1(z)$  v skladu z izvajanjem v [1] ki sta zelo prikladni za reševanje v kompleksni ravnini  $(z)$ .

$$\sigma_x + \sigma_y = 2 [\varphi_1(z) + \bar{\varphi}_1(\bar{z})]$$

$$\sigma_y - \sigma_x + 2 i \tau_{xy} = 2 [\bar{z} \varphi_1(z) + \psi_1'(z)] \quad (1)$$

$$\frac{E}{1 - \nu} (u + i v) = \bar{z} \varphi_1(z) - z \varphi_1'(z) - \psi_1(z) \quad (2)$$

kjer so s črtico označeni odvodi funkcij po spremenljivkah  $z$  in  $\bar{z}$ , konstanta  $\nu$  je Poissonovo število, konstanta  $E$  Youngov modul elastičnosti, konstanta ob analitični funkciji pa je v primeru ravninskega stanja napetosti enaka

$$\frac{3 - \nu}{1 + \nu} \quad (2)$$

Z analitično funkcijo  $\psi_1(z)$  smo označili prvi odvod funkcije  $\chi_1(z)$  po kompleksni spremenljivki  $(z)$ .

Reševanje elastostatičnih problemov sloni na formulaciji osnovnih robnih problemov na robu

L območja S. Območje S je presek osrednje ravnine stene s kompleksno ravnino ( $z$ ). Na vsakem robu morajo biti komponente vektorja napetosti v ravnotežju z zunanjimi obremenitvami, komponente vektorja premika pa morajo zadoščati robnim vrednostim.

Ker se bomo v tem članku omejili le na obravnavanje sten z eno luknjo, ki ima na svojem robu predpisane komponente vektorja premika, izrazov za prvi robni problem ne navajamo.

Kompleksni sestav komponent vektorja premika na robu L območja S, ki predstavlja drugi robni problem, ima naslednjo obliko:

$$\kappa \varphi_1(t) - t \varphi_1'(t) - \psi_1(t) = \frac{E}{1-\nu} [g_1(s) + i g_2(s)] \quad (3)$$

kjer smo s  $t$  označili poljubno robno točko na robu L, s funkcijama  $g_1(s)$  in  $g_2(s)$  pa premik robnih točk v smeri osi  $x$  in  $y$ .

Analitični funkciji  $\varphi_1(z)$  in  $\chi_1(z)$  in funkcija  $\psi_1(z)$  morajo biti takšne, da je napetostno in deformacijsko stanje enolično v celotnem območju S. Iz te zahteve sledijo analitične funkcije, ki so podrobno obravnavane v [1].

### 3. Konformna upodobitev

Zaradi preprostejše izpolnitve robnih pogojev na enotskem krogu, izpeljemo konformno obratno enolično transformacijo neskončnega območja S iz kompleksne ravnine ( $z$ ) v končno območje  $\Sigma$  nove kompleksne ravnine ( $\zeta$ ). Preslikano območje  $\Sigma$  je določeno z neenačbo  $|\zeta| \leq 1$ . Poljubno točko na enotskem krogu, omejenem s krožnico  $\gamma$ , označimo s  $\sigma$ . Konformna upodobitev izvedemo z uporabo preslikovne funkcije, s katero poljubnima točkama  $\zeta$  in  $\bar{\zeta}$  v kompleksni ravnini ( $\zeta$ ) obratno enolično priredimo točki  $z$  in  $\bar{z}$  v kompleksni ravnini ( $z$ ).

$$z = x + i y = r e^{ia} = \omega(\zeta) = \omega[\rho e^{i\theta}] = \sum_{k=m}^{m_1} c_k \zeta^k \quad (4)$$

(1) Kompleksni sestavi komponent tenzorja napetosti (1), ki jih izrazimo v polarnih koordinatah (sl. 1), zapisanih v novi kompleksni ravnini ( $\zeta$ ), imajo naslednjo obliko:

$$\sigma_\theta + \sigma_\vartheta = 2 [\Phi(\zeta) + \overline{\Phi(\zeta)}] \quad (5)$$

$$\begin{aligned} \sigma_\theta - \sigma_\vartheta + 2 i \tau_{\theta\vartheta} &= \\ &= \frac{2 \zeta^2}{\rho^2 \omega'(\zeta)} [\omega(\zeta) \Phi'(\zeta) + \omega'(\zeta) \cdot \Psi(\zeta)] \end{aligned}$$

$$\begin{aligned} \frac{E}{1+\nu} (u_\theta + i u_\vartheta) &= \\ &= \frac{\omega'(\zeta) \bar{\zeta}}{|\omega'(\zeta)| \rho} \left[ \kappa \varphi(\zeta) - \frac{\omega(\zeta)}{\omega'(\zeta)} \overline{\varphi'(\zeta)} - \overline{\psi(\zeta)} \right] \end{aligned}$$

Pri tem pomenijo:

$$\varphi_1(z) = \varphi(\zeta) \quad \psi_1(z) = \psi(\zeta) \quad (6)$$

$$|\omega'(\zeta)| = \sqrt{\omega'(\zeta) \overline{\omega'(\zeta)}}$$

$$\Phi(\zeta) = \frac{\varphi'(\zeta)}{\omega'(\zeta)} \quad \Psi(\zeta) = \frac{\psi'(\zeta)}{\omega'(\zeta)}$$

kjer so s črtico označeni odvodi funkcij po kompleksnih spremenljivkah  $\zeta$  in  $\bar{\zeta}$ .

Če označimo točke na konturi območja  $\Sigma$  v novi kompleksni ravnini ( $\zeta$ ) z  $\sigma \in \gamma$ , oziroma v polarnih koordinatah  $\sigma = e^{i\theta}$ , potem ima drugi robni problem (3) v tej ravnini naslednjo obliko:

$$\alpha \varphi(\sigma) + \frac{\omega(\sigma)}{(\omega')'(\sigma)} \overline{\varphi'(\sigma)} + \overline{\psi(\sigma)} = H(\sigma) \quad (7)$$

kjer smo vpeljali naslednji zamenjavi:

$$H(\sigma) = -\frac{E}{1+\nu} [g_1(s) + i g_2(s)] \quad (8)$$

Robni pogoj (7) je izhodiščna enačba za reševanje obravnavanega problema. Z rešitvijo robnega problema določimo analitični funkciji  $\varphi(\zeta)$  in  $\psi(\zeta)$  in iz enačb (6) tudi analitični funkciji  $\Phi(\zeta)$  in  $\Psi(\zeta)$ . s tem pa je popolnoma podano napetostno in deformacijsko stanje v steni. V nadaljevanju bomo rešitev drugega robnega problema iskali s Cauchyjevimi integrali [1].

### 4. Rešitve stene z eliptično luknjo

Obravnavajmo primer stene katere osrednja ravnina je dvakrat povezano neskončno območje. Vzemimo notranjo konturo eliptično (sl. 2), na kateri predpišimo komponenti vektorja premika v odvisnosti od kompleksne spremenljivke  $z$  na naslednji način:

$$g_1(s) + i g_2(s) = \varepsilon t; t \in L \quad (9)$$

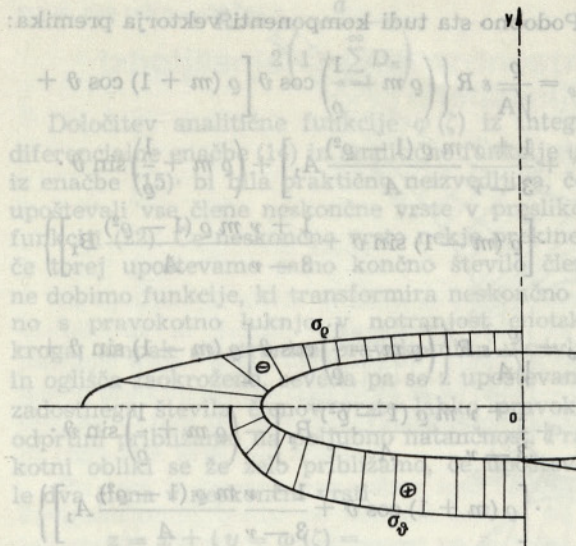
Konstanta  $\varepsilon$  pomeni proporcionalnostni faktor, ki določa velikostni red premikov. Komponente vektorja premika v neskončni točki so enake nič.

Neskončno območje stene S z eliptično luknjo komformno preslikamo s preslikavno funkcijo

$$z = x + i y = \omega(\zeta) = R \left( \frac{1}{\zeta} + m \zeta \right) \quad (10)$$

$$R = \frac{a+b}{2} > 0 \text{ in } 0 \leq m = \frac{a-b}{a+b} \leq 1$$

v kompleksno ravnino ( $\zeta$ ), kjer osrednja ravnina stene zavzame preprosto enkrat povezano končno območje  $\Sigma$ , definirano z neenačbo  $|\zeta| \leq 1$ , ki ga omejuje krožnica z enotskim radijem. S primerno izbiro parametrov  $R$  in  $m$ , ki sta odvisna od polosi, lahko poljubno oblikujemo eliptično konturo luknje od krožnice, kjer prejme parameter  $m$  vrednost nič.



Slika 1. Lastnosti holomorfnih funkcij na robu [1].

Koeficienti v enačbi (1) so vredni:  $a = \frac{1}{2} \cos(\theta)$ ,  $b_0 = \frac{1}{2} \sin(\theta)$ ,  $b_k = \frac{1}{2} \cos(k\theta)$ ,  $c_k = \frac{1}{2} \sin(k\theta)$ . Z upoštevanjem (10) dobimo obliko enačbe (11).

je polmer kroga enak  $R$ , do zareze vzdolž osi  $x$  velikosti  $2R$ , parameter  $m$  pa prejme največjo vrednost enako eni.

Robni pogoj (7) drugega robnega problema na enotskem krogu množimo s členom

$$\frac{1}{2\pi i} \int_{\gamma} \frac{d\sigma}{\sigma - \zeta} \quad (11)$$

in nato integriramo po enotskem krogu  $|\zeta| = 1$ , ki nas privede k funkcionalni enačbi

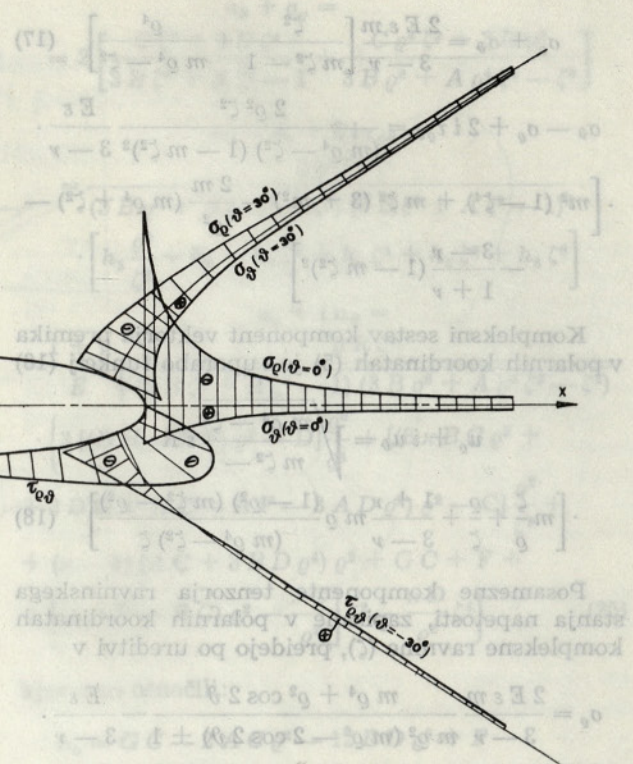
$$\frac{1}{2\pi i} \int_{\gamma} \left[ a\varphi(\sigma) + \frac{\omega(\sigma)}{\omega'(\sigma)} \varphi'(\sigma) + (\psi(\sigma) - H(\sigma)) \right] \frac{d\sigma}{\sigma - \zeta} = 0 \quad (12)$$

Analitični funkciji  $\varphi(\zeta)$  in  $\psi(\zeta)$ , ki prejmeta na krožnici  $\gamma$  robni vrednosti  $\varphi(\sigma)$  in  $\psi(\sigma)$ , morata biti holomorfnii v območju  $\Sigma$  in zvezni v območju in na krožni meji območja. Kadarko obravnavamo območje  $\Sigma$  znotraj enotskega kroga  $|\zeta| \leq 1$ , lahko zapišemo holomorfni analitični funkciji v obliku nekončnih vrst:

$$\varphi(\zeta) = \sum_{k=0}^{k=\infty} a_k \zeta^k \quad (13)$$

$$\psi(\zeta) = \sum_{k=0}^{k=\infty} b_k \zeta^k$$

Z upoštevanjem lastnosti holomorfnih funkcij na robu [1], preide funkcionalna enačba (12) v obliko



Slika 2.

ko, iz katere lahko

$$\begin{aligned} a\varphi(\zeta) + \frac{1}{2\pi i} \int_{\gamma} \frac{\omega(\sigma)}{\omega'(\sigma)} \varphi'(\sigma) \frac{d\sigma}{\sigma - \zeta} + b_0 &= \\ = \frac{1}{2\pi i} \int_{\gamma} \frac{H(\sigma)}{\sigma - \zeta} d\sigma & \end{aligned} \quad (14)$$

določimo obliko funkcije  $\varphi(\zeta)$  pri znani preslikovni funkciji  $\omega(\sigma)$  in predpisanim pogoju na robu  $H(\sigma)$ . Analitično funkcijo  $\psi(\zeta)$  določimo tako, da robni pogoj (7) zapišemo v konjugirano kompleksni oblik, ki ga na opisani način spremenimo v funkcionalno enačbo

$$\psi(\zeta) = \frac{1}{2\pi i} \int_{\gamma} \left[ H(\sigma) - \frac{\omega(\sigma)}{\omega'(\sigma)} \varphi'(\sigma) \right] \frac{d\sigma}{\sigma - \zeta} \quad (15)$$

V primeru eliptične luknje, s preslikovno funkcijo (10), dobimo splošni obliki analitičnih funkcij  $\varphi(\zeta)$  in  $\psi(\zeta)$ :

$$\varphi(\zeta) = \frac{E\varepsilon R m}{3-\nu} \zeta$$

$$\psi(\zeta) = \frac{E\varepsilon R}{3-\nu} \left[ \frac{m(\zeta^2 + m)}{1-m\zeta^2} \zeta - \frac{3-\nu}{1+\nu} \zeta \right] \quad (16)$$

Iz enačb (6) dobimo tudi funkciji  $\Phi(\zeta)$  in  $\Psi(\zeta)$ , ki jih vstavimo v kompleksne sestave komponent tenzorja napetosti v polarnih koordinatah (5).

$$\sigma_\vartheta + \sigma_\vartheta = \frac{2 E \varepsilon m}{3 - \nu} \left[ \frac{\zeta^2}{m \zeta^2 - 1} + \frac{\varrho^4}{m \varrho^4 - \zeta^2} \right] \quad (17)$$

$$\begin{aligned} \sigma_\vartheta - \sigma_\vartheta + 2 i \tau_{\vartheta\vartheta} &= \frac{2 \varrho^2 \zeta^2}{(m \varrho^4 - \zeta^2)(1 - m \zeta^2)^2} \frac{E \varepsilon}{3 - \nu} \cdot \\ &\cdot \left[ m^2 (1 - \zeta^4) + m \zeta^2 (3 + m^2) - \frac{2 m}{\varrho^2} (m \varrho^4 + \zeta^2) - \right. \\ &\left. - \frac{3 - \nu}{1 + \nu} (1 - m \zeta^2)^2 \right] \end{aligned}$$

Kompleksni sestav komponent vektorja premika v polarnih koordinatah (5) je z uporabo funkcij (16)

$$\begin{aligned} u_\vartheta + i u_\vartheta &= \sqrt{\frac{m \varrho^4 - \zeta^2}{m \zeta^2 - 1}} \varepsilon R \cdot \\ &\cdot \left[ m \frac{\zeta}{\varrho} + \frac{\varrho}{\zeta} + \frac{1 + \nu}{3 - \nu} m \varrho \frac{(1 - \varrho^2)(m \zeta^2 - \varrho^2)}{(m \varrho^4 - \zeta^2) \zeta} \right] \quad (18) \end{aligned}$$

Posamezne komponente tenzorja ravninskega stanja napetosti, zapisane v polarnih koordinatah kompleksne ravnine ( $\zeta$ ), preidejo po ureditvi v

$$\begin{aligned} \sigma_\vartheta &= \frac{2 E \varepsilon m}{3 - \nu} \frac{m \varrho^4 + \varrho^2 \cos 2 \vartheta}{m \varrho^2 (m \varrho^2 - 2 \cos 2 \vartheta) + 1} - \frac{E \varepsilon}{3 - \nu} \cdot \\ &\cdot \frac{\varrho^2}{[m \varrho^2 (m \varrho^2 - 2 \cos 2 \vartheta) + 1]^2} \left\{ m^2 - \frac{3 - \nu}{1 + \nu} \cdot \right. \\ &\cdot [m \varrho^2 (m \varrho^2 - 2 \cos 2 \vartheta) + 1] - \varrho^4 m^2 (3 + m^2) - \\ &- m^3 \varrho^2 (1 - 2 \varrho^2) \cos 2 \vartheta + m \varrho^2 \cdot \\ &\cdot \left. [m^2 \varrho^4 + 3 + m^2 - \frac{2}{\varrho^2} + \frac{3 - \nu}{1 + \nu} \cdot \right. \\ &\cdot [m \varrho^2 (m \varrho^2 - 2 \cos 2 \vartheta) + 1] \left. \right] \cos 2 \vartheta - m^2 \varrho^4 \cos 4 \vartheta \} \\ \sigma_\vartheta &= \frac{2 E \varepsilon m}{3 - \nu} \frac{m \varrho^4 + \varrho^2 \cos 2 \vartheta}{m \varrho^2 (m \varrho^2 - 2 \cos 2 \vartheta) + 1} + \frac{E \varepsilon}{3 - \nu} \cdot \\ &\cdot \frac{\varrho^2}{[m \varrho^2 (m \varrho^2 - 2 \cos 2 \vartheta) + 1]^2} \left\{ m^2 - \frac{3 - \nu}{1 + \nu} \cdot \right. \\ &\cdot [m \varrho^2 (m \varrho^2 - 2 \cos 2 \vartheta) + 1] - \varrho^4 m^2 (3 + m^2) - \\ &- m^3 \varrho^2 (1 - 2 \varrho^2) \cos 2 \vartheta + m \varrho^2 \cdot \\ &\cdot \left. [m^2 \varrho^4 + 3 + m^2 - \frac{2}{\varrho^2} + \frac{3 - \nu}{1 + \nu} \cdot \right. \\ &\cdot [m \varrho^2 (m \varrho^2 - 2 \cos 2 \vartheta) + 1] \left. \right] \cos 2 \vartheta - m^2 \varrho^4 \cos 4 \vartheta \} \quad (19) \end{aligned}$$

$$\begin{aligned} \tau_{\vartheta\vartheta} &= \frac{E \varepsilon m}{3 - \nu} \frac{\varrho^4}{[m \varrho^2 (m \varrho^2 - 2 \cos 2 \vartheta) + 1]^2} \cdot \\ &\cdot \left\{ \left[ m^2 (2 - 2 \varrho^2 + \varrho^4) + 3 - \frac{2}{\varrho^2} + \frac{3 - \nu}{1 + \nu} \cdot \right. \right. \\ &\cdot [m \varrho^2 (m \varrho^2 - 2 \cos 2 \vartheta) + 1] \left. \right] \sin 2 \vartheta - m \varrho^2 \sin 4 \vartheta \} \end{aligned}$$

Podobno sta tudi komponenti vektorja premika:

$$\begin{aligned} u_\vartheta &= \frac{\varrho}{\sqrt{A}} \varepsilon R \left\{ \left( \varrho m - \frac{1}{\varrho} \right) \cos \vartheta \left[ \varrho (m + 1) \cos \vartheta + \right. \right. \\ &+ \frac{1 + \nu}{3 - \nu} \frac{m \varrho (1 - \varrho^2)}{A} A_1 \left. \right] + \left( \varrho m + \frac{1}{\varrho} \right) \sin \vartheta \cdot \\ &\cdot \left. \left[ \varrho (m - 1) \sin \vartheta + \frac{1 + \nu}{3 - \nu} \frac{m \varrho (1 - \varrho^2)}{A} B_1 \right] \right\} \end{aligned}$$

$$\begin{aligned} u_\vartheta &= \frac{\varrho}{\sqrt{A}} \varepsilon R \left\{ \left( \varrho m - \frac{1}{\varrho} \right) \cos \vartheta \left[ \varrho (m - 1) \sin \vartheta + \right. \right. \\ &+ \frac{1 + \nu}{3 - \nu} \frac{m \varrho (1 - \varrho^2)}{A} B_1 \left. \right] - \left( \varrho m + \frac{1}{\varrho} \right) \sin \vartheta \cdot \\ &\cdot \left. \left[ \varrho (m + 1) \cos \vartheta + \frac{1 + \nu}{3 - \nu} \frac{m \varrho (1 - \varrho^2)}{A} A_1 \right] \right\} \end{aligned}$$

Kjer smo zaradi krajšega zapisa označili z  $A$ ,  $A_1$  in  $B_1$  naslednje funkcije

$$A = 1 - 2 m \varrho^2 \cos 2 \vartheta + m^2 \varrho^4$$

$$A_1 = [m^2 \varrho^2 \cos 4 \vartheta + 1 - m (1 + \varrho^2) \cos 2 \vartheta] \cdot \\ \cdot \cos 3 \vartheta + [m^2 \varrho^2 \cos 4 \vartheta - m (1 + \varrho^2) \sin 2 \vartheta] \sin 3 \vartheta$$

$$B_1 = [m^2 \varrho^2 \sin 4 \vartheta - m (1 + \varrho^2) \sin 2 \vartheta] \cos 3 \vartheta - \\ - [m^2 \varrho^2 \cos 4 \vartheta + 1 - m (1 + \varrho^2) \cos 2 \vartheta] \sin 3 \vartheta \quad (21)$$

Koncentracije napetosti in največji premiki se pojavljajo na robu eliptične luknje, kjer je  $\varrho = 1$ , v neskončni točki pri  $\varrho = 0$  pa so vse komponente tenzorja napetosti in vektorja premika enake nič.

Za numerično vrednotenje razmeroma zapletenih izrazov smo izdelali program v fortranskem jeziku, s katerim smo na elektronskem računalniku IBM 1130 določili napetostno in deformacijsko stanje v steni z eliptično luknjo s polosema  $a = 6$  cm in  $b = 1,2$  cm. S slike 2 je razvidno, da se napetosti zelo hitro zmanjšujejo z oddaljevanjem od roba luknje, kar seveda ne preseneča.

### 5. Rešitve stene s pravokotno luknjo

V praksi je pogosteji primer stene s pravokotno luknjo (sl. 4), ki ima na robu L predpisane premike (3). Zato bomo določili napetostno in deformacijsko stanje v neskončni steni s pravokotno luknjo s stranicama  $a$  in  $b$ . V ta namen smo uporabili preslikovno funkcijo z dela [2], ki konformno in obratno enolično preslika neskončno območje S osrednje ravnine stene s pravokotno luknjo v novo kompleksno ravnino ( $\zeta$ ) v območje  $\Sigma$ , ki pomeni notranjost enotskega kroga  $|\zeta| \leq 1$ .

$$z = x + i y = \omega(\zeta) = R \left( \frac{1}{\zeta} + \sum_{n=1}^{\infty} D_n \cdot \zeta^{2n-1} \right) \quad (22)$$

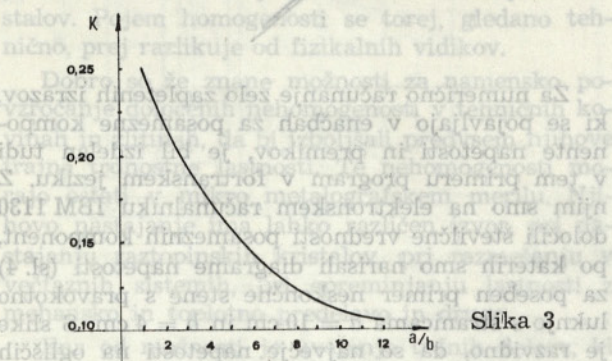
kjer so  $D_n$  realne konstante, določene s Schwarz-Christofflovo enačbo [2], parameter  $R$  pa je

$$R = \frac{a}{2 \left( 1 + \sum_{n=1}^{\infty} D_n \right)}$$

Določitev analitične funkcije  $\varphi(\zeta)$  iz integrala diferencialne enačbe (14) in analitične funkcije  $\psi(\zeta)$  iz enačbe (15) bi bila praktično neizvedljiva, če bi upoštevali vse člene neskončne vrste v preslikovni funkciji (22). Če neskončno vrsto nekje prekinemo, če torej upoštevamo samo končno število členov, ne dobimo funkcije, ki transformira neskončno steno s pravokotno luknjo v notranjost enotskega kroga, ampak so stranice pravokotnika ukrivljene in oglišča zaokrožena, seveda pa se z upoštevanjem zadostnega števila členov vrste lahko pravokotni odprtini približamo na poljubno natančnost. Pravokotni oblici se že zelo približamo, če upoštevamo le dva člena v neskončni vrsti

$$\begin{aligned} z = x + i y &= \omega(\zeta) = \\ &= R \left( \frac{1}{\zeta} + \cos 2\pi K - \frac{\zeta^3}{6} \sin^2 2\pi K \right) \end{aligned}$$

Koefficient  $K$  upošteva razmerje stranic  $a:b$ , kakor je razvidno iz diagrama  $K$ ,  $(a:b)$  na sliki 3.



Analitični funkciji  $\varphi(\zeta)$  in  $\psi(\zeta)$  določimo iz enačb (14) in (15) ob upoštevanju lastnosti holomorfnih funkcij na robu luknje

$$\varphi(\zeta) = R(C\zeta + D\zeta^3) \quad (23)$$

$$\psi(\zeta) = R \left[ \frac{G\zeta + H\zeta^3}{1 - A\zeta^2 - 3\zeta^4 B} (C + 3D\zeta^2) + F\zeta \right]$$

kjer smo zaradi krajše pisave označili:

$$\begin{aligned} U &= \frac{E\varepsilon}{1 + \nu} & D &= \frac{UB}{\kappa} \\ A &= \cos 2\pi K & F &= U \left( \frac{3B^2}{\kappa} - 1 \right) \\ B &= -\frac{1}{6} \sin^2 2\pi K & G &= A(1+B) \\ C &= \frac{UA}{\kappa + B} & H &= 1 + 3B^2 \end{aligned} \quad (24)$$

Kompleksni sestavi (5) komponent tenzorja napetosti in vektorja premika v polarnih koordinatah imajo v tem primeru obliko:

$$\begin{aligned} \sigma_\theta + \sigma_\varphi &= \\ &= 2 \left[ \frac{C\zeta^2 + 3D\zeta^4}{3B\zeta^4 + A\zeta^2 - 1} + \frac{C\varrho^4\zeta^2 + 3D\varrho^8}{3B\varrho^8 + A\varrho^4\zeta^2 - \zeta^4} \right] \\ \sigma_\theta - \sigma_\varphi + 2i\tau_{\varphi\theta} &= \\ &= \frac{2\varrho^2\zeta^4}{(3B\varrho^8 + A\varrho^4\zeta^2 - \zeta^4)(3B\zeta^4 + A\zeta^2 - 1)^2} \\ &\cdot \left[ h_3 \frac{\varrho^4}{\zeta^2} + h_0 + h_2\zeta^2 + h_4\zeta^4 + h_6\zeta^6 + h_8\zeta^8 \right] \\ u_\varphi + iu_\theta &= \\ &= \frac{1 + \nu}{E} \frac{\varrho R\zeta^2}{\sqrt{(3B\zeta^4 + A\zeta^2 - 1)(3B\varrho^8 + A\varrho^4\zeta^2 - \zeta^4)}} \\ &\cdot \left\{ 3[(DH - BF)\varrho^2 - D]\frac{\varrho^6}{\zeta^4} + [(3\kappa BC\varrho^2 + \right. \right. \\ &+ 3DG + HC - AF - 3AD\varrho^2)\varrho^2 - C]\frac{\varrho^2}{\zeta^2} + \\ &+ (\kappa - 1)(AC + 3BD\varrho^4)\varrho^2 + GC + F + \\ &+ \left. \left. \left[ (\kappa AD - BC)\varrho^2 - \frac{\kappa C}{\varrho^2} \right] \zeta^2 - \frac{\kappa D}{\varrho^2}\zeta^4 \right\} \right. \end{aligned} \quad (25)$$

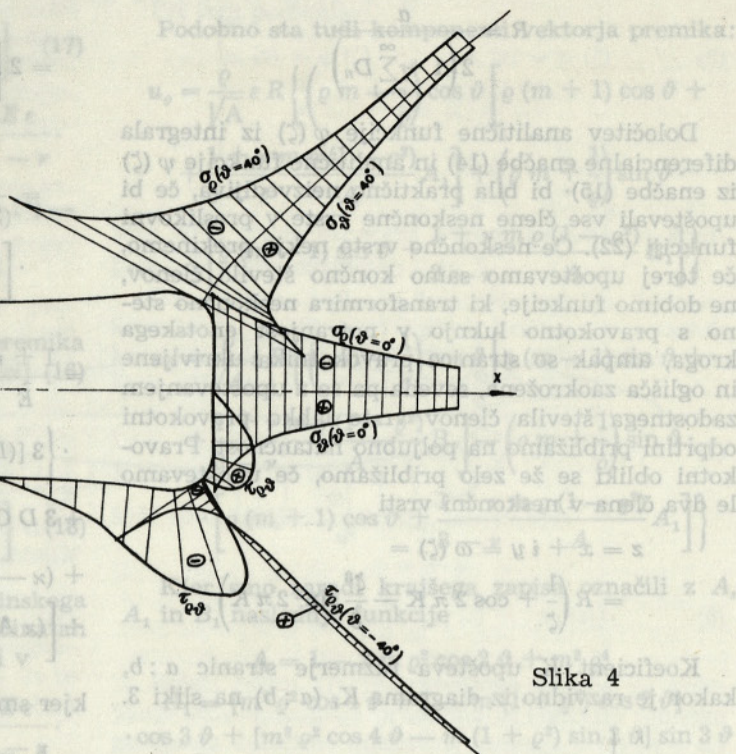
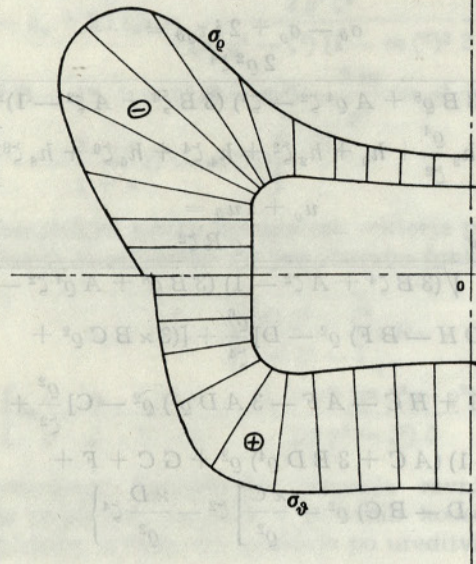
kjer smo označili:

$$\begin{aligned} h_0 &= GC - 2AC\varrho^2 - 12BD\varrho^6 + F \\ h_2 &= -\frac{2C}{\varrho^2} - 12AD\varrho^2 + 6B(AD - BC)\varrho^6 + \\ &+ ACG + 3(3DG + HC) - 2AF \\ h_3 &= -2BC\varrho^2 \\ h_4 &= -12\frac{D}{\varrho^2} + 6A(AD - BC)\varrho^2 + \\ &+ 15DH + 9BCG - A(3DG + HC) + \\ &+ A^2F - 6BF \\ h_6 &= (AD - BC)\frac{6}{\varrho^2} + 3B(3DG + HC) - \\ &- 9ADH + 6ABF \end{aligned} \quad (26)$$

$$h_8 = 9B(BF - DH)$$

Posamezne komponente tenzorja ravninskega stanja napetosti v polarnih koordinatih kompleksne ravnine  $(\zeta)$  imajo po ureditvi naslednjo obliko:

$$\begin{aligned} \sigma_\theta &= \frac{\varrho^2}{K^2} \left\{ -t_0 + 2K\varrho^2(AC + 9BD\varrho^4) + \right. \\ &+ [2K(3BC\varrho^4 + 3AD\varrho^4 - C) - \varrho^2(t_2 + p_2)] \cdot \\ &\cdot \cos 2\vartheta - [6KD + \varrho^2(t_4 + p_4)]\varrho^2 \cos 4\vartheta - \\ &- \varrho^6(t_6 + p_6) \cos 6\vartheta + h_8\varrho^8 \cos 8\vartheta \} \\ \sigma_\varphi &= \frac{\varrho^2}{K^2} \left\{ t_0 + 2K\varrho^2(AC + 9BD\varrho^4) + \right. \\ &+ [2K(3BC\varrho^4 + 3AD\varrho^4 - C) + \varrho^2(t_2 + p_2)] \cdot \\ &\cdot \cos 2\vartheta - [6KD - \varrho^2(t_4 + p_4)]\varrho^2 \cos 4\vartheta + \\ &+ \varrho^6(t_6 + p_6) \cos 6\vartheta - h_8\varrho^8 \cos 8\vartheta \} \end{aligned}$$



Slika 4

$$\tau_{\vartheta\vartheta} = \frac{\varrho^4}{K^2} [(t_2 - p_2) \sin 2\vartheta + \varrho^2 (t_4 - p_4) \sin 4\vartheta + \varrho^4 (t_6 - p_6) \sin 6\vartheta - h_s \varrho^6 \sin 8\vartheta]$$

Premika pa sta

$$\begin{aligned} u_\varrho &= R \frac{1+\nu}{E} \frac{\varrho}{\sqrt{K}} [s_0 + (s_2 + v_2) \cos 2\vartheta + (v_4 - zD) \cos 4\vartheta] \\ u_\vartheta &= R \frac{1+\nu}{E} \frac{\varrho}{\sqrt{K}} [(s_2 - v_2) \sin 2\vartheta - (\kappa D + v_4) \sin 4\vartheta] \end{aligned} \quad (27)$$

V prejšnjih izrazih smo zaradi krajšega zapisa označili naslednje izraze:

$$\begin{aligned} p_2 &= 3Bh_2\varrho^4 + Ah_0 - h_3 \\ p_4 &= 3Bh_0 - Ah_3 \\ p_6 &= 3Bh_3 \\ t_0 &= 3Bh_4\varrho^8 + Ah_2\varrho^4 - h_0 \\ t_2 &= 3Bh_6\varrho^8 + Ah_4\varrho^4 - h_2 \\ t_4 &= 3Bh_8\varrho^8 + Ah_6\varrho^4 - h_4 \\ t_6 &= Ah_8\varrho^4 - h_6 \\ s_0 &= (\kappa - 1)(AC + 3BD\varrho^4)\varrho^2 + GC + F \\ s_2 &= \varrho^4(\kappa AD - BC) - \kappa C \\ v_2 &= (\kappa 3BC\varrho^2 + 3DG + HC - AF - 3AD\varrho^2)\varrho^2 - C \\ v_4 &= 3\varrho^2[(DH - BF)\varrho^2 - D] \\ K &= 9B^2\varrho^8 + 2A\varrho^2(3B\varrho^4 - 1)\cos 2\vartheta - 6B\varrho^4\cos 4\vartheta + A^2\varrho^4 + 1 \end{aligned}$$

Za numerično računanje zelo zapletenih izrazov, ki se pojavljajo v enačbah za posamezne komponente napetosti in premikov, je bil izdelan tudi v tem primeru program v fortranskem jeziku. Z njim smo na elektronskem računalniku IBM 1130 določili številčne vrednosti posameznih komponent, po katerih smo narisali diagrame napetosti (sl. 4) za poseben primer neskončne stene s pravokotno luknjo s stranicama  $a = 10$  cm in  $b = 4$  cm. S slike je razvidno, da so največje napetosti na ogliščih luknje, z oddaljevanjem od roba luknje pa se napetosti zmanjšujejo in so v neskončni točki pri  $\varrho = 0$  enake nič. Dejanske napetosti so nekoliko večje od tu izračunanih, saj smo upoštevali samo tri člene v preslikovalni funkciji (22).

#### LITERATURA

- [1] N. I. Mushelevi, Some Basic Problems of the Mathematical Theory of Elasticity. P. Noordhoff, Groningen, 1958.
  - [2] T. Skubic, Uporaba funkcij kompleksne spremenljivke v teoriji elastičnosti, Disertacija, Ljubljana, 1961.
  - [3] J. Plemelj, Teorija analitičnih funkcij, SAZU, Ljubljana, 1958.
  - [4] D. S. Mitrinović, Kompleksna analiza, Građevinska knjiga, Beograd, 1973.
  - [5] B. Vrečko: Diplomsko delo, FS, Ljubljana, 1975.
- Naslov avtorjev: doc. dr. ing. Franc Kosel  
prof. dr. ing. Marko Škerl  
Fakulteta za strojništvo  
Univerze v Ljubljani